

شواهد پتروگرافی، ژئوشیمیایی و ایزوتوپی آلایش پوسته‌ای در بازالت‌های منطقه جواهردشت (شرق گیلان)

شهروز حق نظر: دانشگاه آزاد اسلامی واحد لاھیجان

سارا ملکوتیان: دانشگاه آزاد اسلامی واحد دماوند

خلیل الله‌یاری: دانشگاه شهید بهشتی

سعید تاکی: دانشگاه آزاد اسلامی واحد لاھیجان

چکیده

بازالت‌های جواهردشت در دامنه شمالی البرز واقع در شرق گیلان بروزن زد چشمگیری دارند. شواهد پتروگرافی،

ژئوشیمیایی و ایزوتوپی نشان از آلایش این بازالت‌ها با پوسته قاره‌ای دارد. شواهد پتروگرافی از قبیل: خورده‌گی

خليجي و حاشيه‌های مضرس در فنوكريستهای پيروکسن و متفاوت بودن تركيب شيميايی حاشيه فنوكريستهای

كلينوپيروکسن با كلينوپيروکسن‌های خميره به سبب آلایش پوسته‌ای و عدم تعادل و تغيير تركيب خميره نسبت به

فنوكريستهای از قبل تشكيل شده در سنگ ايجاد شده است. فقر در عناصر چون Zr, Nb, TiO_2 , P_2O_5 و غني

شدگی از عناصر LiL و نسبت‌های فراوان Pb/Nd و Ba/Nb و Ce/Pb, Y/Nb, Zr/Nb و محتوى انذک

متبت SiO_2 با $^{86}Sr/^{87}Sr$ و همچنين همبستگی مثبت MgO با Nd از شواهد ژئوشیمیایی و ایزوتوپی آلایش پوسته‌ای

اين بازالت‌ها است. بررسی‌های ما نشان می‌دهد که اين بازالت‌ها داراي تعادل عنصری شاخصی با سنگ‌های پوسته

زيرين و ميانی هستند و با آن‌ها آلایش يافته‌اند

مقدمه

مسئله آلدگی پوسته‌ای، از جمله فرآيندهای درگیر در تفريق ماكماهای اوليه است، که ماكماهای تشکيل شده در ناحيه منشا گوشه‌ای را ضمن صعود تحت تأثير قرار می‌دهد. تركيب ماكماهای اوليه نشأت گرفته از گوشته بر اثر برهمكنشی با مواد پوسته‌ای در طی صعود، از نظر ژئوشیمیایی مورد تغيير و تعديل قرار می‌گيرند. اين تغييرات باعث می‌شود که بررسی خصوصيات ناحيه منشا و محاسبات مربوط به درجه ذوب بخشی و حتی تعبيين محيط ژئodynamik تشکيل را که بر اساس نمونه‌های اوليه و بدون آلایش بنيان‌گذاري شده‌اند، با مشكل و دشواری مواجه سازد. در بررسی‌های ایزوتوپی نيز باید متوجه نقش آلایش پوسته‌ای بود؛ زيرا ماكماهای بازالتی که از ميان پوسته قاره‌ای فوران می‌کنند ممکن است با سنگ‌های پي سنگ غني از $^{86}Sr/^{87}Sr$ تأثير متقابل داشته باشند و در نتيجه تركيبات ایزوتوپی آن‌ها را نمي‌توان به ويزگی‌های گوشته منشا نسبت داد [۱].

واژه‌های کلیدی: بازالت‌های جواهردشت، آلایش پوسته‌ای، ایزوتوپ‌های Nd و Sr، ژئوشیمی، پتروگرافی

پذيرش ۸۸/۷/۲۷

دریافت ۸۷/۶/۲۰

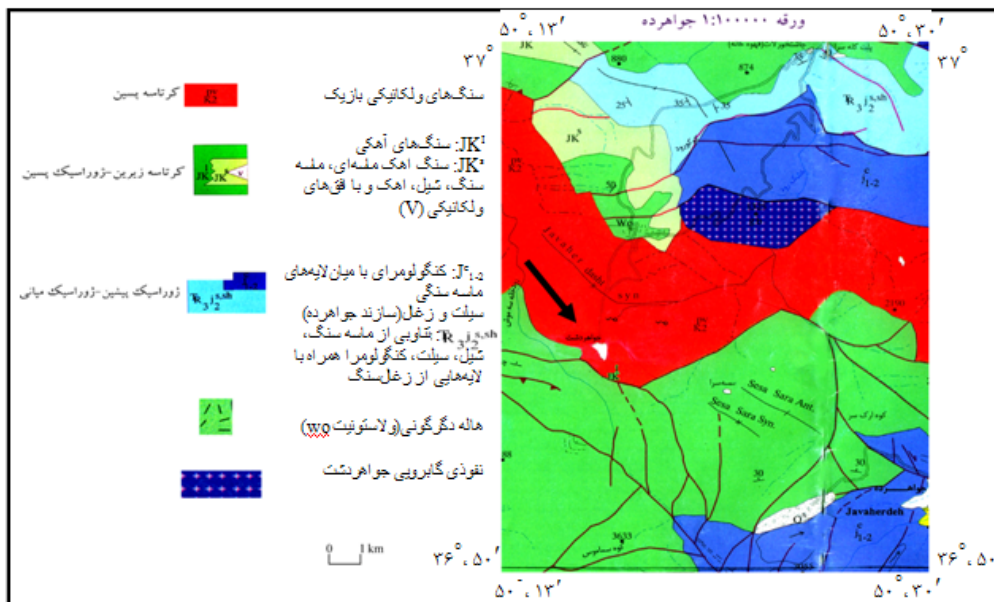
بنا بر این اثبات و نقش آلودگی‌های پوسته‌ای ماگماها و تعیین این موضوع که ماگماهای بازالتی در حال صعود تا چه حد و با کدام پوسته بر همکنش و آلایش داشته‌اند در بررسی‌های ژئوشیمیایی و ژئودینامیکی بازالت‌های فوران یافته در جایگاه‌های میان‌صفحه‌ای قاره‌ای اهمیت ویژه دارد. بررسی علائم ژئوشیمیایی و ایزوتوپی سنگ‌ها، اجازه شناسایی ترکیب گوشه‌های و فرآیندهایی چون آلایش پوسته‌ای را به ما می‌دهد. همه بازالت‌های قاره‌ای و بیشتر سنگ‌های جزایر افیانوسی (OIB) الگوهای عناصر کمیاب غنی شده را نشان می‌دهند. این غنی شدگی از عناصر ناسازگار به وسیله نفوذ‌های متاسوماتیکی یا مذاب‌های سیلیکاته - کربناته موجود آمده و یا به وسیله پذیرش اجزای غنی شده مثل پوسته قاره‌ای یا لیتوسفر با استنسفر و مواد گوشه‌ای فقیرشده توضیح داده می‌شوند^[۲]. پذیرش اجزای غنی شده مثل پوسته قاره‌ای به وسیله استنسفر و مواد گوشه‌ای می‌تواند به غنی شدگی از عناصر کمیاب کمک کند، اما پیش از هرچیز این موضوع با مشخصات ایزوتوپی احراز هویت می‌شود^[۲]. در این پژوهش ما به کمک علائم ژئوشیمیایی و ایزوتوپی بازالت‌های جواهر دشت، مسئله آلایش این بازالت‌ها را با پوسته قاره‌ای، بررسی و اثبات می‌کنیم.

موقعیت جغرافیایی و زمین‌شناسی منطقه

روستای بیلاقی جواهردشت در ۴۵ کیلومتری جنوب شهرستان رودسر واقع در شرق گیلان و در موقعیت $^{\circ}53^{\prime}$ ، $^{\circ}36^{\prime}$ و عرض شمالی $^{\circ}50^{\prime}$ ، $^{\circ}53^{\prime}$ طول شرقی قرار گرفته است (شکل ۱). محدوده پژوهش در گوشه شمال شرقی ورقه ۱۰۰۰۰۰^[۳] جواهرده^[۳] بین طول‌های جغرافیایی $^{\circ}13^{\prime}$ ، $^{\circ}30^{\prime}$ و $^{\circ}50^{\prime}$ شرقی و $^{\circ}50^{\prime}$ ، $^{\circ}36^{\prime}$ و $^{\circ}37^{\prime}$ شمالی در بخش غربی زون البرز مرکزی و در دامنه شمالي آن واقع شده است. به لحاظ سنی بیشتر رخنمون‌های سنگی منطقه متعلق به دوران مژوزوئیک، و برونزد غالب سنگ‌های آذرین منطقه، توده‌های ماگمایی گابرویی و بازالتی به سن کرتاسه است^[۳]. پژوهش‌های پتروگرافیکی صورت گرفته بر روی بازالت‌های منطقه جواهردشت نشان می‌دهد که این سنگ‌ها دارای تنوع ترکیبی بین اولیوین بازالت‌ها، اولیوین بازالت‌های آندزیتی، آندزیت‌های بازالتی و آندزیت‌های بازالتی کوارتزدار هستند.

روش بررسی

از بخش‌های مختلف توده بازالتی جواهردشت با توجه به تنوع لیتوژیکی، مجموعاً در حدود ۵۰ مقطع میکروسکوپی تهیه و بررسی پتروگرافی شد. سپس عناصر اصلی و جزئی موجود در ۱۲ نمونه از بازالت‌های جواهردشت در آزمایشگاه XRF (MAGIX-PRO) سازمان زمین‌شناسی کشور تجزیه شدند (جدول ۱).



شکل ۱. بخشی از گوشش شمال شرقی ورقه ۱:۱۰۰۰۰ جواهرده که منطقه پژوهش در روی آن واقع شده است

مقادیر نسبت‌های ایزوتوبی $^{87}\text{Sr}/^{86}\text{Sr}$ و $^{143}\text{Nd}/^{144}\text{Nd}$ پنج نمونه از بازالت‌های جواهردشت نیز در آزمایشگاه ایزوتوبی دانشگاه کارلتون اوتاوا در کشور کانادا تجزیه و اندازه‌گیری شدند (جدول ۲).

شواهد پتروگرافیکی آلایش پوسته‌ای بازالت‌های جواهردشت

بررسی‌های پتروگرافی ما نشان می‌دهد که بافت غالب بازالت‌های منطقه، پورفیریک با خمیره میکرولیتی و بافت گلومروپورفیریک (تجمعی) و گاه پورفیریک با خمیره اینترگرانولار است. فنوکریست‌های کلینوپیروکسن موجود در این سنگ‌ها از نوع نیتان اوژیت است که بعضی از آن‌ها دارای ساختمان منطقه‌ای متعددالمرکز (رونینگ) بوده (شکل ۲) به نحوی که یک حاشیه قمه‌های متمایل به بنفش در آن‌ها بخوبی مشخص است (شکل ۳ و ۴). این حاشیه در نتیجه اضافه شدن Al و Ti به سبب کاهش فشار و عمق ساخته می‌شود [۲] و بر پایه واکنش ناقص با باقیمانده مذاب در حال تغییر ترکیب قابل تفسیر است.

نکته قابل توجه، خوردگی خلیجی و حاشیه مضرس در این نیتان اوژیت‌ها است. این موضوع نشان دهنده حالت عدم تعادل بین ترکیب شیمیایی فنوکریست و خمیره سنگ است (شکل ۴). از سوی دیگر، در خمیره این سنگ‌ها نیز دانه‌های کلینوپیروکسن دیده می‌شود که به صورت پورفیریک ترتیبی (serialporphyric) تقسیم شده‌اند به نوعی که تدریجاً از فنوکریست‌های دانه درشت به بلورهای دانه‌ریز خمیره تبدیل می‌شوند. با توجه به حاشیه غنی از Ti فنوکریست‌های کلینوپیروکسن، باید انتظار داشت که پیروکسن‌های خمیره از نظر ترکیبی

سرشار از Ti باشد. اما مقادیر اندک TiO_2 (حدود یک درصد و کمتر) در این سنگ‌ها که در بررسی ژئوشیمیایی نیز به آن اشاره می‌شود، نشان‌دهنده این موضوع است که احتمالاً بعد از تشکیل فنوکریست‌های پیروکسن، آلایش پوسته‌ای، سبب افت مقدار TiO_2 در کل سنگ شده و باعث گردیده است که ترکیب خمیره تعییر کند و پیروکسن‌های خمیره فقیر از Ti شدن. دلیل پتروگرافیکی این موضوع غیرهمزنگ بودن پیروکسن‌های خمیره با حاشیه فنوکریست‌های پیروکسن است.

HASHIYE-HA MAMRIS و خوردگی خلیجی موجود در فنوکریست‌های پیروکسن احتمالاً به دلیل عدم تعادل ناشی آلایش پوسته‌ای و تغییر ترکیب خمیره نسبت به فنوکریست‌های موجود در سنگ ایجاد شده‌اند.

جدول ۱. نتایج تجزیه شیمیایی (XRF) بازالت‌های جواهردشت

نمونه	J-B-16	J-B-25	J-B-13	J-B-8	J-B-10	J-B-3	J-B-5	J-B-22	J-B-17	J-B-2	J-B-4	J-B-27
SiO ₂	48.29	48.30	48.77	52.28	48.24	49.02	45.98	49.69	48.23	50.22	46.17	48.63
Al ₂ O ₃	15.42	13.34	17.69	15.39	15.87	16.11	12.54	15.34	12.67	14.16	13.13	15.05
Fe ₂ O ₃	11.92	12.21	11.02	11.28	11.69	12.15	12.27	11.49	11.63	11.43	11.78	13.54
MgO	4.89	7.73	4.61	4.76	6.44	3.75	9.42	4.79	8.94	6.57	8.76	4.25
CaO	8.91	8.57	9.37	6.49	9.51	8.56	10.27	8.13	9.30	9.67	11.08	8.72
Na ₂ O	2.25	2.25	2.35	2.39	2.64	2.33	1.70	1.94	2.20	2.10	1.82	2.84
K ₂ O	2.43	1.87	1.70	2.29	0.82	3.27	1.70	3.39	1.73	2.47	1.59	2.16
MnO	0.13	0.13	0.11	0.13	0.12	0.13	0.14	0.14	0.14	0.12	0.13	0.15
TiO ₂	1.10	1.18	0.97	0.97	0.94	1.17	0.78	0.98	1.03	0.95	0.84	1.19
P ₂ O ₅	0.35	0.22	0.24	0.22	0.22	0.36	0.28	0.29	0.38	0.21	0.23	0.28
Mg [#]	46.1	55.8	45.8	44	51.7	37.5	60.5	44	61.1	53.3	60	38.4
L. O. I.	3.34	3.69	2.68	3.3	3.05	2.58	4.23	3.45	3.11	1.77	3.94	2.87
Sn	2.4	2.4	2.3	2.7	2.3	2.2	2.5	2.2	2.0	2.5	2.1	2.2
Th	2.2	<2	3.9	<2	2.9	<2	2.1	<2	4.0	<2	<2	<2
V	259.2	232.8	221.9	205.8	203.2	242.1	226.3	236.6	200.5	245.0	248.8	268.2
Nb	12.9	11.1	10.2	13.5	12.5	13.5	7.6	11.7	12.1	8.5	6.0	13.3
Ba	357.1	540.0	391.7	499.3	253.5	375.8	269.0	398.8	298.3	388.4	290.5	380.1
Ce	40.2	48.4	37.5	51.0	31.9	35.9	35.1	38.3	33.0	39.3	32.0	35.0

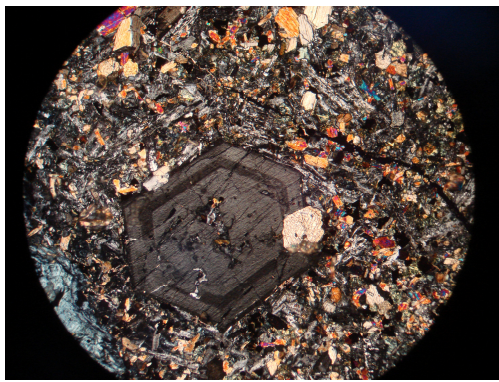
ادامه جدول ۱

Hf	7. 2	5. 5	4. 6	8. 8	4. 4	<4	4. 6	7. 2	8. 1	11. 3	8. 5	5. 8
Pb	8. 4	9. 2	8. 1	17. 7	7. 8	8. 2	8. 1	10. 1	7. 8	7. 8	8. 2	8. 6
Nd	37. 0	43. 7	7. 3	18. 2	15. 0	31. 2	28. 0	11. 4	22. 1	18. 2	12. 6	38. 9
Ni	<5	8. 0	<5	6. 9	<5	<5	129. 4	12. 9	118. 2	35. 5	115. 5	<5
Rb	39. 8	59. 2	51. 1	71. 8	28. 9	71. 4	39. 3	69. 1	48. 7	50. 9	43. 8	39. 3
Sr	600. 2	579. 2	817. 2	594. 1	715. 9	687. 9	509. 7	642. 6	513. 3	639. 5	568. 3	612. 1
Y	31. 0	31. 7	29. 5	37. 9	24. 7	34. 3	27. 0	34. 2	31. 4	30. 2	27. 6	30. 3
Cr	28. 8	92. 3	15. 7	<10	41. 5	<10	307. 8	46. 9	221. 3	141. 0	328. 7	19. 5
Zr	140. 9	131. 8	153. 6	158. 3	151. 8	154. 3	114. 0	153. 3	135. 6	137. 4	117. 5	148. 1
Tb	1. 1	1. 1	1. 1	1. 1	1. 1	1. 1	1. 1	1. 1	1. 1	1. 1	1. 1	1. 2
Ta	<5	<5	<5	<5	<5	<5	<5	<5	<5	<5	<5	<5
Eu	<3	<3	<3	<3	<3	<3	<3	<3	<3	<3	<3	<3
Sc	27. 5	30. 5	26. 5	25. 1	29. 3	27. 6	29. 1	27. 0	26. 5	31. 2	32. 3	26. 6
Cu	123. 4	83. 1	112. 5	54. 9	47. 6	134. 8*	120. 8	125. 8	97. 1	141. 1*	124. 9	148. 7*
Co	37. 7	41. 1	35. 0	30. 4	38. 0	38. 9	42. 2	33. 9	37. 0	38. 0	39. 7	43. 9
Zn	86. 1	117. 6	97. 9	247. 5*	80. 0	99. 1	88. 1	104. 0	94. 5	97. 9	83. 5	114. 8
Cs	<5	<5	<5	<5	<5	<5	<5	<5	<5	<5	<5	<5
Ga	19. 9	19. 8	21. 9	23. 0	20. 8	21. 1	19. 2	21. 6	21. 9	20. 7	18. 3	19. 9
Mo	<5	<5	<5	<5	<5	<5	<5	<5	<5	<5	<5	<5

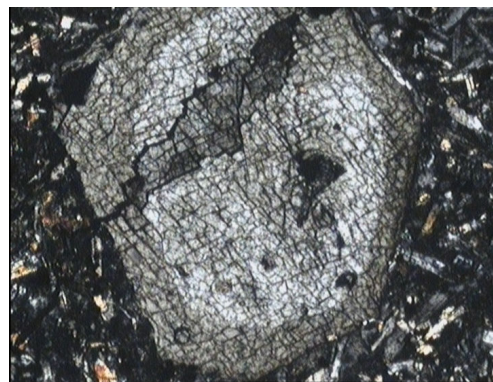
*: بیشتر از بالاترین حد قابل اندازه گیری

جدول ۲. نتایج تجزیه ایزوتوپی Nd و Sr بازالت‌های جواهردشت

Sample	$^{87}\text{Sr}/^{86}\text{Sr}$	2-sigma	$^{143}\text{Nd}/^{144}\text{Nd}$	2-sigma
J-B-2	0. 704482	0. 000010	0. 512660	0. 000009
J-B-3	0. 704648	0. 000010	0. 512692	0. 000009
J-B-4	0. 704225	0. 000010	0. 512727	0. 000008
J-B-8	0. 705387	0. 000011	0. 512517	0. 000008
J-B-25	0. 704856	0. 000012	0. 512688	0. 000008
NBS987	0. 710254	0. 000011		
La Jolla			0. 511848	0. 000006



شکل ۲. نمایی از ساختار منطقه‌ای متحالمرکزدر بلور خودشکل تیتان اوژیت



شکل ۳. نمایی از حاشیه قهوه‌ای متمایل به بنفش در بلور تیتان اوژیت



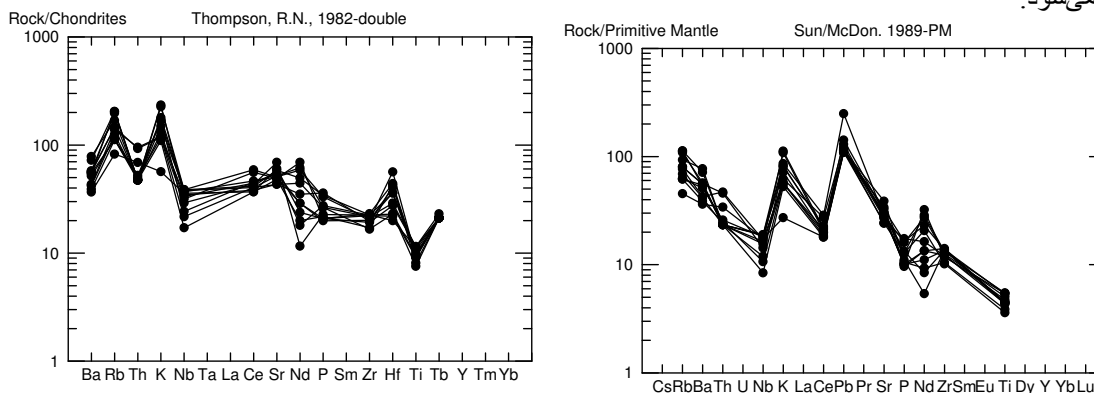
شکل ۴. نمایی از خوردگی خلیجی در بلور تیتان اوژیت

شواهد آلایش پوسته‌ای از طریق بررسی الگوی دیاگرام‌های چندعنصری عناصر ناسازگار
از نمودارهای چندعنصری عناصر ناسازگار بهمنظور درک رژیم‌های تکتونیکی و تحولات ماقمایی در بازالت‌ها به طور گسترده استفاده می‌شود [۱، ۴، ۵].

در شکل ۵ و ۶ الگوی فراوانی عناصر ناسازگار بازالت‌های جواهردشت که نسبت به کندریت [۴] و گوشته اولیه [۶] به هنگار شده‌اند، نشان داده شده است. غنی‌شدگی از عناصر LiL، Ba، K، Rb و Pb و تھی‌شدگی واضحی در Ce، Ti، Nb و P در نمودارها دیده می‌شود. در بدو امر تھی‌شدگی عناصر ناسازگار با محتوی اندک نسبت به عناصر مجاور خود و با آنومالی منفی نسبت به مرجع گوشه‌ای یا کندریتی، حاصل حفظ آن عناصر در فاز‌های باقی مانده در ناحیه منشأ و غنی‌شدگی و آنومالی‌های مثبت نتیجه ذوب‌بخشی و رها شدن از فاز‌هایی از گوشته با محتوی زیاد این عناصر و رفتار ناسازگار آن‌ها تفسیر می‌شود. این موضوع به ضریب

توزیع عناصر نسبت به فازهای گوشته بستگی دارد [۲].

همچنین آلایش پوسته‌ای و هضم می‌تواند آنومالی‌های مثبت یا منفی نسبت به مراجع به‌هنگارشده ایجاد کند که این موضوع در رابطه با سنگ‌های بازالتی منطقه جواهر دشت مشاهده می‌شود [۱]، [۷]. به عقیده رولینسون [۸] آنومالی منفی Nb شاخص سنگ‌های قاره است و نشان‌دهنده شرکت پوسته در فرآیندهای ماقمایی است. فقر Nb در پوسته قاره‌ای ممکن است به دلیل باشد: اول آنکه Nb مانند Ti معمولاً در کانی‌های نیتان دارو آمفیبیول در پوسته فرورانده شده باقی می‌ماند و مانع ورود آن به مذاب و فرآیندهای بعدی پوسته‌سازی می‌شود [۹] و دوم آنکه Nb فقط به کمک مذاب‌های سیلیکاته حمل می‌شود؛ نه به وسیله محلول‌های فرورانشی [۱۰]، این موضوع حتی پیک منفی در آندزیت‌ها را توضیح می‌دهد [۲]. هر چند آنومالی‌های منفی Nb و Ti خاص مناطق فرورانش [۱۱]، [۱۲] و آنومالی‌های مثبت آن‌ها خاص مناطق کششی و ریفتی [۱]، [۱۳] است، اما در بازالت‌های تحولی مناطق ریفتی [۱] و بازالت‌های طغیانی قاره‌ای [۱۴] نیز آنومالی منفی Ti و Nb دیده می‌شود.



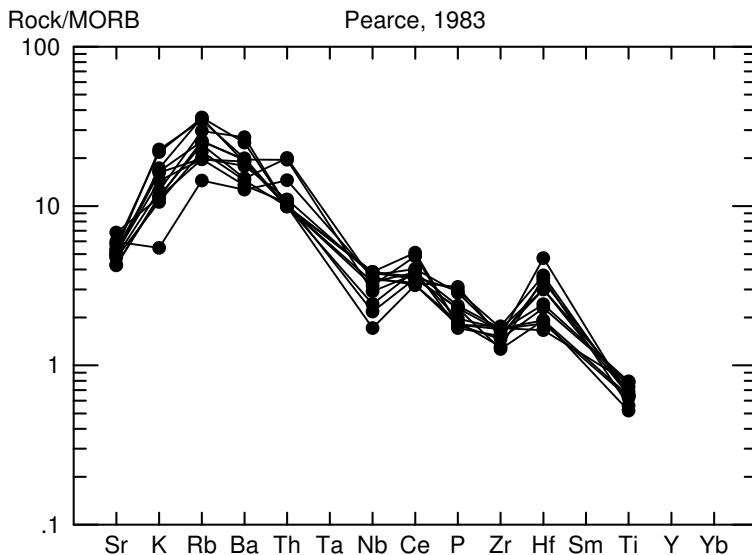
شکل ۵. الگوی فراوانی عناصر ناسازگار بازالت‌های جواهر دشت به‌هنگار شده با کندریت [۴]

شکل ۶. الگوی فراوانی عناصر ناسازگار بازالت‌های جواهر دشت به‌هنگار شده با گوشته اولیه [۶]

به عقیده کاکس و هاکس ورت [۷] آنومالی منفی Nb در بسیاری از بازالت‌های طغیانی قاره‌ای و ریفتی به دلیل ممکن است ایجاد شود؛ اول: آلایش پوسته و دوم: وجود یک فاز باقی مانده از Nb در محل منشأ. از سوی دیگر، آنومالی منفی Ti شاخصه تپیک سنگ‌های پوسته‌ای و نشان‌دهنده دخالت پوسته در تحولات ماقمایی است [۵]. به عقیده ویلسون [۱] باید میزان TiO_2 را معیاری کاملاً حساس به آلودگی در نظر گرفت. فقر Ti در بسیاری از بازالت‌های قاره‌ای به درجات بالا ذوب بخشی و آلایش پوسته‌ای نسبت داده شده است [۱]، [۶].

در شکل ۷ الگوی فراوانی عناصر ناسازگار بازالت‌های جواهر دشت که نسبت به مقادیر مورب [۵] به‌هنگار شده‌اند نشان داده شده است. چنان‌که ملاحظه می‌شود، بازالت‌های جواهر دشت از تمامی طیف عناصر ناسازگار

به غیر از Ti نسبت به MORB غنی شده‌اند. فقر Ti در مقایسه با بازالت‌های N-MORB قابل توجه است. خود بازالت‌های N-MORB در نتیجه درجات بالای ذوب بخشی از منابع تهی شده به وجود آمده و مقادیر Ti در آن‌ها اندک و به طور میانگین ppm ۷۶۰ [۶] است. در حالی که مقادیر میانگین Ti در بازالت‌های جواهردشت در حدود ۶۰۰۰ ppm است. این موضوع به دلیل آلاش ماقمای بازالتی با مواد پوسته‌ای بوده است؛ یعنی ماقمای مادر اولیه این بازالت‌ها حاوی مقادیر بسیار زیادتری از TiO_2 بوده است. حضور درشت بلورهای تیتان اوزیت با حاشیه بنفش بیان‌گر غنی بودن ماقمای اولیه (قبل از آلاش) از TiO_2 بوده و تبلور آن‌ها مربوط به قبل از آلاش پوسته‌ای است. خوردگی خلیجی و حاشیه مضرس و عدم وجود کلینوبیروکسن‌های غنی از Ti در خمیره سنگ دلالت بر آلاش پوسته‌ای و عدم تعادل مذاب باقیمانده با فنوکریست‌های از قبل متبلور شده دارد که در بررسی‌های پتروگرافی نیز به آن اشاره شد.



شکل ۷. الگوی فراوانی عناصر ناسازگار بازالت‌های جواهردشت به هنجار شده با مقادیر مورب [۵]

محتوای P_2O_5 در بازالت‌های جواهردشت اندک و به طور میانگین ۰/۲۷٪ است. یک آنومالی منفی P در تمامی نمودارهای چندعنصری نسبت به مراجعة گوشه‌ای و کندریتی به چشم می‌خورد. این مقادیر اندک TiO_2 و P_2O_5 قابل مقایسه با بازالت‌های طغیانی قاره‌ای (CFB) نوع LPT بوده است؛ یعنی همان بازالت‌هایی که بر اثر آلاش با مواد پوسته‌ای حاوی محتوی P_2O_5 بین ۰/۳٪ تا ۰/۱۵٪ و TiO_2 بین ۱/۷٪ تا ۰/۷٪ هستند [۱۶، ۱۷]. از سوی دیگر، عناصر (LIL) در پوسته قاره‌ای متمرکزند و غلظت زیاد آن‌ها در سنگ‌های منطقه ممکن است نشان‌دهنده آلاش پوسته‌ای ماقمای تشکیل دهنده سنگ‌های منطقه باشد [۸].

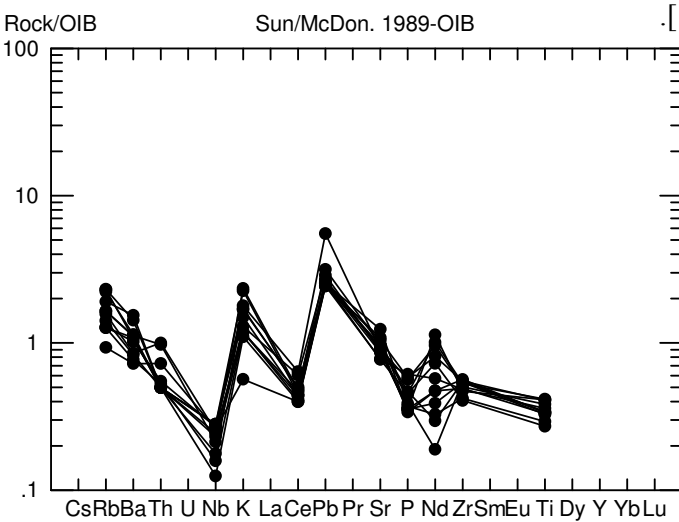
به عقیده واتسون [۱۸] هنگام آغشتگی بازالت با پوسته قاره‌ای حتی در صورتی که بقیه عناصر بدون تغییر

باقي بمانند، مقدار چشمگیری پتاسیم به درون ماقماں بازالتی راه می‌باید. این موضوع سبب ایجاد آنومالی مثبت در بازالت‌ها می‌شود. آنومالی مثبت Pb نیز می‌تواند ناشی از آلایش با مواد پوسته‌ای به دلیل تمرکز این عنصر در پوسته قاره‌ای اتفاق افتاده باشد؛ زیرا این عنصر برخلاف Nb بهوسیله انتقال از محلول‌های فرورانشی سیستم‌های فرورانشی و فرآیندهای پوسته‌ساز و نیز مذاب‌های تولیدی بهترین در پوسته غنی می‌شود [۲].

شکل ۸ الگوی فراوانی عناصر ناسازگار بازالت‌های جواهردشت که با مقادیر OIB (بازالت‌های جزایر اقیانوسی) [۶] به هنجار شده‌اند، نشان داده شده است. این بازالت‌ها به وضوح الگوی پرفراز و نشیبی را نشان می‌دهند که مشخصه بسیاری از بازالت‌های طغیانی قاره‌ای و بازالت‌های تحولی ریفتی درون قاره‌ای بوده و ظاهراً این موضوع پیامد آلدگی این بازالت‌ها با پوسته قاره‌ای است [۱].

آلودگی پوسته‌ای بازالت‌های جواهردشت باعث تغییر ترکیب شیمیایی اولیه این بازالت‌ها شده است. فقر Ti، Zr، Nb و غنی شدگی از K، Rb، Ba، Pb باعث شده است که این بازالت‌ها خصوصیات مناطق فرورانشی را به طور کاذب نشان دهند. این موضوع در بسیاری از بازالت‌ها درون صفحه‌ای قاره‌ای که با

پوسته آلدود شده‌اند مشاهده می‌گردد [۱].



شکل ۸. الگوی فراوانی عناصر
ناسازگار بازالت‌های جواهردشت
به هنجار شده با مقادیر OIB [۶]

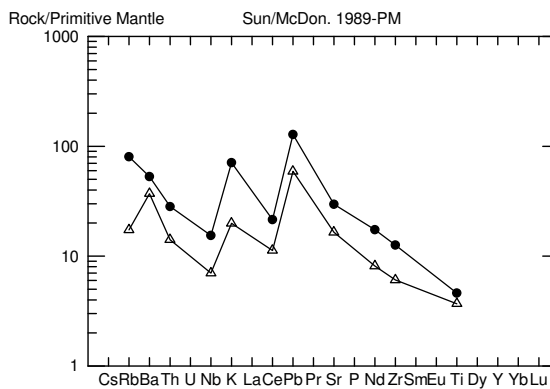
اثبات آلایش پوسته‌ای از طریق مقایسه میانگین الگوی عناصر ناسازگار بازالت‌های جواهردشت با مقادیر پوسته‌ای؛ مدارکی در اثبات نوع آلایش

تعیین این موضوع که بازالت‌های جواهردشت با کدام پوسته آلایش یافته‌اند در تفسیر توزیع ژئوشیمیایی عناصر در این سنگ‌ها اهمیت بسیار دارد.

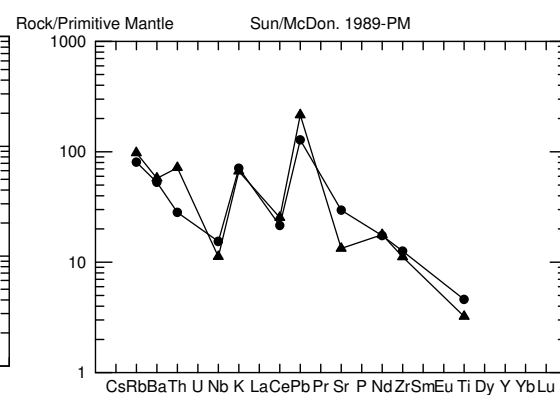
در این مبحث میانگین ترکیب شیمیایی بازالت‌های جواهردشت بهمنظور اثبات و نوع آلایش، با مقادیر پوسته زیرین و میانی [۱۵] و پوسته فوقانی [۱۹] مقایسه شده‌اند:

شکل ۹ مقایسه‌ای بین الگوی میانگین عناصر ناسازگار بازالت‌های جواهر دشت با مقادیر پوسته زیرین که نسبت به گوشه‌ای اولیه [۶] به هنگار شده‌اند، نشان داده شده است. انطباق چشمگیر روند الگوی تمامی عناصر به غیر از Rb بین پوسته زیرین با رخساره گرانولیتی و سنگ‌های منطقه مشاهده می‌شود. این موضوع برآلاش گسترده بازالت‌های منطقه با سنگ‌های پوسته زیرین دلالت دارد.

شکل ۱۰ مقایسه الگوی میانگین عناصر ناسازگار بازالت‌های جواهر دشت با مقادیر پوسته میانی [۱۵] که نسبت به گوشه‌ای اولیه [۶] به هنگار شده‌اند، نشان داده شده است. بازهم‌آنگی جالب توجهی بین عناصر پوسته میانی با رخساره آمفیبولیتی و سنگ‌های منطقه مشاهده می‌شود. مقدار Rb به مقدار پوسته میانی نزدیک است، اما محتوی Th کمتر و آنومالی منفی دارد. محتوی بیشتر Sr نسبت به پوسته میانی به دلیل محتوی زیاد Sr در پوسته زیرین (۳۴۸ ppm) نسبت به پوسته میانی (۲۸ ppm) و هضم آن به همراه هضم پوسته میانی اتفاق افتاده است.

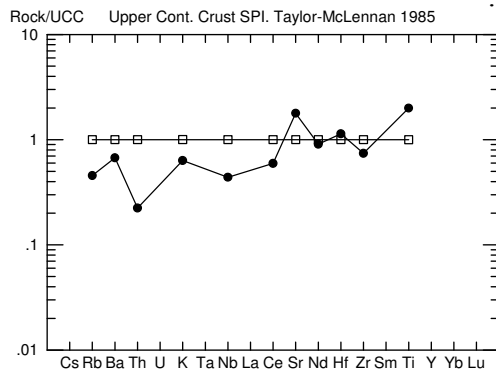


شکل ۹. مقایسه الگوی میانگین عناصر ناسازگار بازالت‌های جواهر دشت با مقادیر پوسته زیرین [۱۵]
● بازالت‌های جواهر دشت
△ پوسته زیرین



شکل ۱۰. مقایسه الگوی میانگین عناصر ناسازگار بازالت‌های جواهر دشت با مقادیر پوسته میانی [۱۵]
▲ بازالت‌های جواهر دشت
● پوسته میانی

شکل ۱۱ مقایسه الگوی میانگین نمونه‌های منطقه که با مقادیر پوسته فوقانی [۱۹] به هنگار شده‌اند، نشان داده شده است. اختلاف با روند پوسته فوقانی کاملاً مشخص است.



شکل ۱۱. مقایسه الگوی میانگین عناصر ناسازگار بازالت‌های جواهر دشت با مقادیر پوسته فوقانی [۱۹]

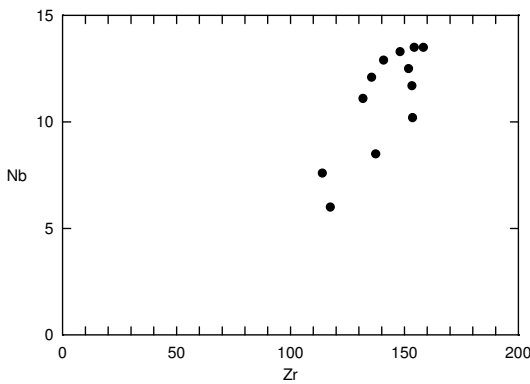
خلاصه روندهای مشابه و نشیب و فرازهای یکسان عناصر ناسازگار بازالت‌های منطقه جواهردشت با مقادیر پوسته‌ای، بر هم کنشی مانگماهای بازالتی منطقه را با پوسته قاره‌ای مدل می‌سازد. الگوی دیاگرام‌های عناصر ناسازگار بازالت‌های جواهردشت و مقایسه آن با مقادیر پوسته‌ای نشان می‌دهد که نمونه‌ها نسبت به پوسته زیرین و میانی دارای تعادل عنصری شلختنی بوده و در نتیجه با آن‌ها آلایش یافته‌اند. بهویژه که پوسته میانی با رخساره آمیغیولیتی بهدلیل طبیعت زودگذارتر از پوسته زیرین از مساعدترین مکان‌ها برای الودگی مانگماها بهشمار می‌رود. تهی‌شدنگی در Th و اختلاف روندهای عنصری نسبت مقادیر پوسته بالایی این نکته را نشان می‌دهد که آلودگی گسترده‌با سنگ‌های پوسته فوقانی صورت نگرفته است. با توجه به این‌که پوسته میانی منطقه‌ای بین ۱۰-۱۵ کیلومتری تا پوسته زیرین را شامل می‌شود [۱۵] به همین سبب، آلودگی پوسته‌ای این بازالت‌ها در اعماق پایین ۱۵-۲۰ کیلومتری روی داده است.

بررسی نسبت‌های عناصر کمیاب ناسازگار به عنوان معرف‌های ژئوشیمیایی آلایش پوسته‌ای

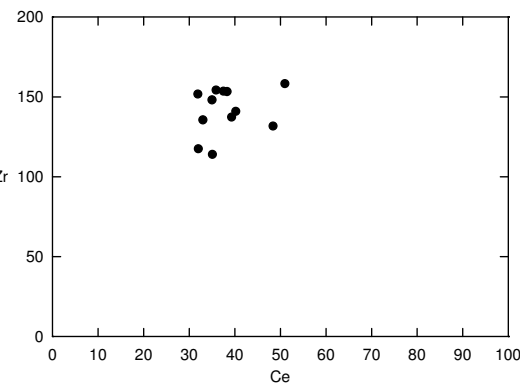
از نسبت‌های عناصر کمیاب ناسازگار در سیستم‌های بازالتی برای تمییز منابع گوشت‌های و پوسته‌ای استفاده می‌شود [۲۰]. نسبت‌های عناصر (HFS) بسیار شاخصند؛ زیرا نسبت دو عنصر ناسازگار مشابه، بر اثر ذوب‌بخشی یک منبع گوشت‌های ثابت می‌ماند و این نسبت در نتیجه درجه ذوب‌بخشی یک منبع نیز ثابت مانده و تغییر نمی‌کند. از سوی دیگر، در اثر تفرقی، محتوی عناصر ناسازگار تغییر می‌کند، اما نسبت بین دو عنصر ناسازگار مشابه، در حین تفرقی تغییری نمی‌کند [۲]. این موضوع تا زمانی صادق است که نمونه‌ها بدون آلودگی پوسته‌ای قرار داشته باشند؛ زیرا آلودگی پوسته‌ای می‌تواند نسبت عناصر کمیاب ناسازگار را تغییر دهد [۱]، [۲].

مشابه رفتار عناصر ناسازگار HFS عناصر LIL هم بسیار مهم هستند. این عناصر بهویژه K، Rb و Ba برای نمایش واکنش پوسته با مانگما مفید هستند؛ زیرا این عناصر در پوسته قاره‌ای تمرکز یافته و در مذاب‌های پوسته‌ای آناتکتیک بیشترین تمرکز را نشان می‌دهند [۸، ۲۱].

در شکل ۱۲ تغییرات Nb نسبت به Zr و در شکل ۱۳ تغییرات Zr نسبت به Ce نشان داده شده است. چنان‌که ملاحظه می‌شود نسبت عناصر ناسازگار Zr/Ce و Zr/Nb در نمونه‌ها ثابت نبوده و دامنه وسیعی از نسبت را نشان می‌دهد. این موضوع بهدلیل آلایش پوسته‌ای است؛ زیرا تبلور تفرقی باعث ثابت ماندن نسبت غلظت دو عنصر ناسازگار می‌شود، ولی آلودگی پوسته‌ای منجر به تغییر نسبت بین آن‌ها در یکسری سنگی می‌شود [۱].



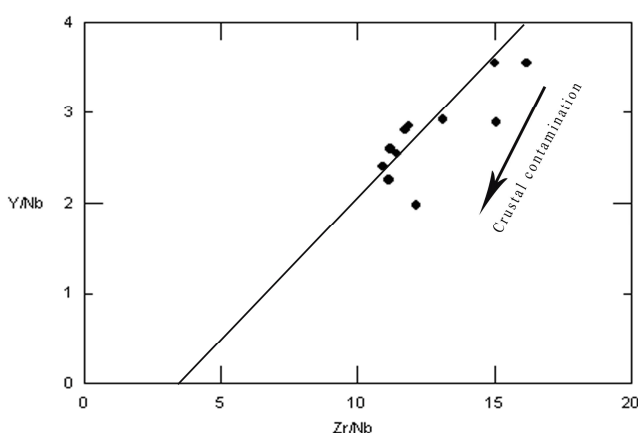
شکل ۱۲. نمودار تغییرات Nb نسبت به Zr برای بازالت‌های جواهردشت



شکل ۱۳. نمودار تغییرات Zr نسبت به Ce برای بازالت‌های جواهردشت

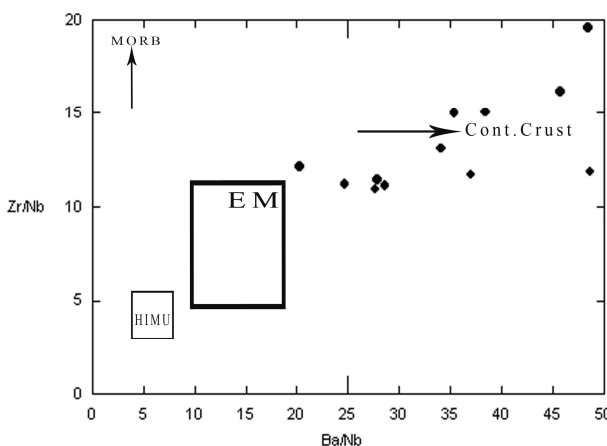
در شکل ۱۴ تغییرات Y/Nb در برابر Zr/Nb برای بازالت‌های جواهردشت نشان داده است. روند آلوگی پوسته‌ای از ویلسون [۱] اقتباس شده است. این روند دقیقاً مشابه روند بازالت‌های تحولی دشت آتش‌شانی تائوس در ریفت ریوگراند است که آلایش پوسته‌ای را نشان می‌دهند [۲۲]. با افزایش آلایش پوسته‌ای هردو

نسبت Zr/Nb و Y/Nb کاهش می‌یابد [۱].



شکل ۱۴. نمودار تغییرات Y/Nb در برابر Zr/Nb برای بازالت‌های جواهردشت روند آلوگی پوسته‌ای از ویلسون [۱] اقتباس شده است

نسبت Ba/Nb در بازالت‌های جواهردشت بالا و بین ۲۰ تا ۴۹ متغیر است. به عقیده رومنیک و گلداشتاین [۲۳] مقادیر فراوان Ba/Nb معمولاً در مagmaهای غنی شده گوشته لیتوسفر قاره‌ای و همچنین در سنگ‌ها پوسته زیرین دیده می‌شود. در شکل ۱۵ تغییرات Zr/Nb در برابر Ba/Nb برای بازالت‌های جواهردشت نشان داده شده است. روند پوسته قاره‌ای و مقادیر گوشته EM (گوشته غنی شده) و HIMU و روند MORB از ویور [۲۰] اقتباس شده است. چنان‌که ملاحظه می‌شود نمونه‌ها به خوبی روند پوسته قاره‌ای را تعقیب می‌کنند. این موضوع نقش پوسته را در تحولات بازالت‌های جواهردشت نشان می‌دهد.

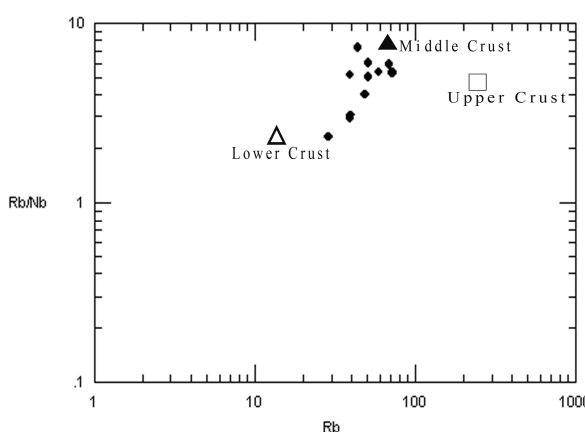


شکل ۱. نمودار تغییرات Zr/Nb برابر Ba/Nb برابر بازالت‌های جواهردشت. روند پوسته قاره‌ای و مقادیر گوشته HIMU و روند MORB از ویور [۲۰] اقتباس شده است

Pb و Ce به عنوان عناصر ناسازگار همسایه، به این معنا، به عنوان عناصری با رفتار ناسازگار نزدیک که دارای رفتارهای زمین‌شناسی مشابهی هستند، در نظر گرفته می‌شوند [۲]. نسبت Ce/Pb در OIB و MORB در Ce/Pb نسبت در حالی که اقیانوسی نسبتاً بالا و تقریباً یکنواخت است و مقدار آن حدوداً 25 ± 5 است [۲۴]. در حالی که این نسبت در بازالت‌های جواهردشت در حدود $4/2$ بوده که این محتوى اندک Ce/Pb نشانه درگیر بودن ماقماً با مواد پوسته‌ای است [۲۹].

شاخصه مهم برای هضم و الایش پوسته‌ای نسبت زیاد Pb/Nd است [۲۵]. این نسبت در بازالت‌های جواهردشت به طور میانگین $0/۳۸$ است در حالی که در مورب نوع N حدوداً $0/۰۴$ و در مورب P حدود $0/۰۶$ و در OIB حدود $0/۰۸$ است [۶]. این نسبت در پوسته زیرین $0/۳۸$ در پوسته میانی حدود $0/۰۳۶$ و در پوسته فرقانی $0/۰۷۳$ است. این موضوع آشناستگی سنگ‌ها با پوسته زیرین و میانی را به خوبی نشان می‌دهد.

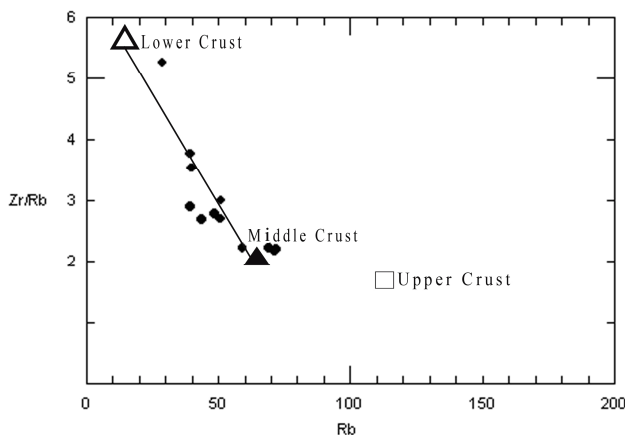
در شکل ۱۶ در نمودار لگاریتمی Rb/Nb در برابر Rb از پیرس و همکاران [۲۶] که درجه واکنش پوسته در برابر ماقماً گوشته‌ای را نشان می‌دهد، نمونه‌ها روندی از پوسته زیرین به طرف پوسته میانی را نشان داده و در محدوده پوسته میانی تمرکز نشان می‌دهند.



شکل ۱۶. نمودار لگاریتمی تغییرات Rb/Nb در برابر Rb از پیرس و همکاران [۲۶]. مقادیر میانگین پوسته زیرین و میانی از رودنیک و فوتنین [۱۵] و پوسته بالایی از تیلور و مک للان [۱۹] اقتباس شده است

در شکل ۱۷ در نمودار Zr/Rb در برابر Rb از آسکرن و همکاران [۲۷] که بهمنظور تعیین فرآیند AFC (تفرقی و هضم) با پوسته ترسیم شده، نمونه‌ها به وضوح روندی از پوسته زیرین به طرف پوسته میانی همگام با افزایش Rb نشان می‌دهند.

خلاصه آنکه بررسی نسبت‌های عناصر کمیاب ناسازگار نشان می‌دهد که بازالت‌های جواهردشت با سنگ‌های پوسته زیرین و میانی آلایش یافته‌اند.

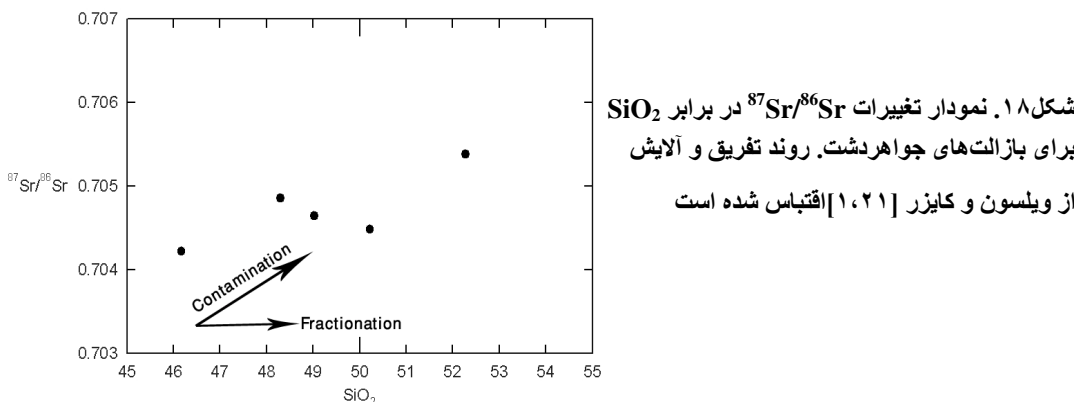


شکل ۱۷. نمودار نیمه لگاریتمی تغییرات Zr/Rb در برابر Rb از آسکرن و همکاران [۲۷]. مقادیر میانگین پوسته زیرین و میانی از رودنیک و فونتنین [۱۵] او پوسته بالایی از تیلور و مک للان [۱۹] اقتباس شده است

شواهد ایزوتوبی آلایش پوسته‌ای

با بررسی عالم ایزوتوبی و ژئوشیمیایی، پذیرش اجزای غنی شده مثل پوسته قاره‌ای با ماقماًی بازالتی شناسایی می‌شود. پژوهش‌های ایزوتوبی $\text{Nd}-\text{Sr}$ بالقوه ردیاب قوی برای آلایش ماقماها به سیله پوسته قاره‌ای فراهم می‌آورد [۱].

در نمودار تغییرات $^{87}\text{Sr}/^{86}\text{Sr}$ در برابر SiO_2 (شکل ۱۸) روندهای تفرقی و آلایش مشخص شده‌اند. به وضوح بازالت‌های جواهردشت روند آلایش پوسته‌ای را تعقیب می‌کنند؛ به نحوی که نمونه ۸-B-J با بالاترین درصد $\text{SiO}_2 = 52/28\%$ دارای بالاترین نسبت $^{87}\text{Sr}/^{86}\text{Sr} = 0.705387$ بوده و نمونه ۴-B-J با کمترین درصد $\text{SiO}_2 = 45/17\%$ دارای کمترین میزان $^{87}\text{Sr}/^{86}\text{Sr} = 0.704205$ است. اگر فقط فرآیند تفرقی باعث تحول سنگ‌شناسی نمونه‌ها باشد، باید با افزایش ضریب تفرقی، نسبت $^{87}\text{Sr}/^{86}\text{Sr}$ ثابت بماند. همبستگی مثبت SiO_2 با نسبت $^{87}\text{Sr}/^{86}\text{Sr}$ انعکاس از فرآیند آلایش پوسته‌ای است [۲۱].



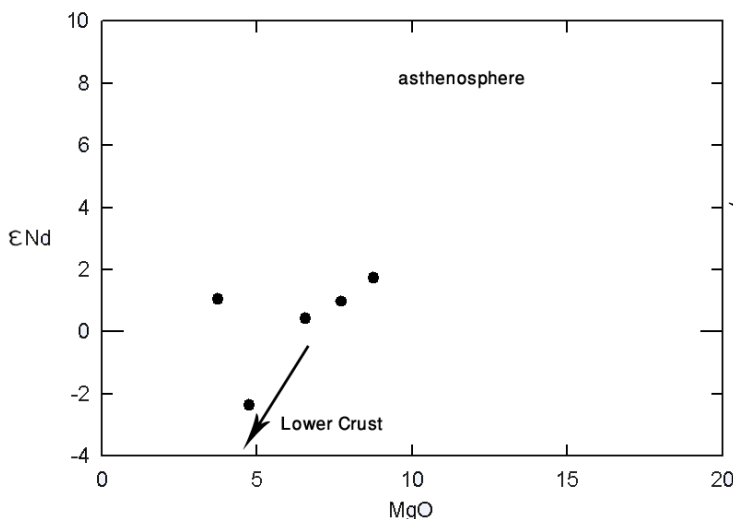
یک راه نشان دادن نسبت‌های ایزوتوپی، نماداپسیلون (ϵ) است که مقدار آن اندازهٔ انحراف یک نمونهٔ یا مجموعه‌ای از نمونه‌ها، از مقدار مورد انتظار در یک منبع یکنواخت اولیه است [۲۸]. مقادیر محاسبه شده پارامترهای ϵSr و ϵNd به روش دپانولو و واسبرگ [۲۸] در جدول ۳ نشان داده شده است. مقادیر ϵNd منفی نشانهٔ یک ناحیه گوشه‌ای غنی شده و یا یک منشأ پوسته‌ای است و مقادیر مثبت آن نشان‌گر گوشه‌ای تھی شده است [۸]. ویژگی سنگ‌های پوسته زیاد بودن نسبت ϵSr و کم بودن ϵNd نسبت به مقادیر تعیین شده جهت کل زمین است [۱].

جدول ۳. مقادیر محاسبه شده پارامترهای ϵNd و ϵSr
برای بازالت‌های جواهردشت به روش دپانولو و واسبرگ [۲۸]

Sample	ϵNd	ϵSr
J-B-2	0/429	-0/256
J-B-3	1/053	2/1
J-B-4	1/736	-3/9
J-B-8	-2/361	12/59
J-B-25	0/975	5/05

در شکل ۱۹ تغییرات ϵNd در برابر MgO برای بازالت‌های جواهردشت نشان داده شده است (اقتباس از یونگ [۲]). نمونه‌ها به خوبی روند پوستهٔ تحتانی را نشان می‌دهند. همیستگی مثبت ϵNd با MgO انعکاسی از آلایش پوسته‌ای است [۲۹].

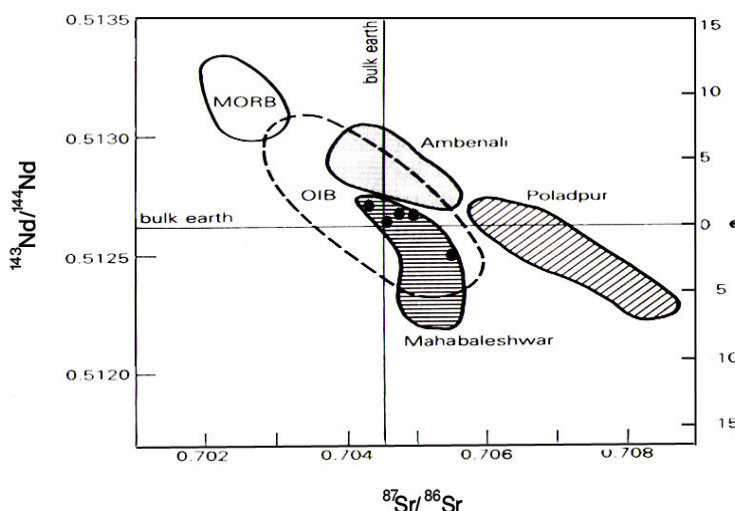
از شاخصه $\text{K}_2\text{O}/\text{P}_2\text{O}_5$ برای آلایش پوسته‌ای ماقمای بازالتی استفاده می‌شود [۳۰، ۳۱، ۳۲]. بازهٔ نرمال برای ماقماهای غیرآلایش یافته با پوستهٔ قاره‌ای بین ۷-۰ است [۳۲]. البته اغلب ماقماهای بازالتی نشأت گرفته از گوشه‌های دارای نسبت $\text{K}_2\text{O}/\text{P}_2\text{O}_5 < ۲$ هستند. هضم پوسته و یا تفریق آپاتیت سبب افزایش نسبت مذبور شده و این موضوع در بازالت‌های رودخانه کلمبیا مشاهده شده است [۳۰].



شکل ۱۹. نمودار تغییرات ϵ_{Nd} در برابر MgO برای بازالت‌های جواهردشت. مقدار استنوفر و روند پوسته تحتانی از یونگ [۲] اقتباس شده است

نسبت $\text{K}_2\text{O}/\text{P}_2\text{O}_5$ در بازالت‌های جواهردشت بین ۷ تا ۱۱/۷۷ متغیر است. آن‌ها که دارای بیشترین نسبت $\text{K}_2\text{O}/\text{P}_2\text{O}_5$ هستند، دارای بیشترین نسبت $^{87}\text{Sr}/^{86}\text{Sr}$ است (به عنوان مثال نمونه JB8) در حالی که نمونه‌ای که دارای کمترین نسبت $^{87}\text{Sr}/^{86}\text{Sr}$ است دارای کمترین نسبت $\text{K}_2\text{O}/\text{P}_2\text{O}_5$ است (نمونه JB4) که این موضوع دلالت بر آلایش پوسته‌ای دارد [۳۰].

در شکل ۲۰ داده‌های ایزوتوپی Nd-Sr بازالت‌های طبیعی قاره‌ای و تولئیتی تراپ دکن در منطقه مهابالشوار به منظور مقایسه با بازالت‌های جواهردشت نشان داده شده است. بازالت‌های جواهردشت روندی خطی مشابه بازالت‌های تراپ دکن در منطقه مهابالشوار نشان می‌دهند. بازالت‌های مهابالشوار روندی را نشان می‌دهند که بازتاب آلدگی با پوسته زیرین است [۱]. روند منفی قرارگیری ایزوتوپ‌های Nd-Sr، معمولاً به هضم رخساره گرانولیتی پوسته زیرین استناد می‌شود [۳۳].



شکل ۲۰- موقعیت بازالت‌های جواهردشت در نمودار همبستگی ایزوتوپی Nd-Sr بهمنظور مقایسه با بازالت‌های طبیعی قاره‌ای منطقه مهابالشوار واقع در تراپ دکن [۱]

نتیجه‌گیری

بررسی‌های پتروگرافیک و عالم ژئوشیمیایی و ایزوتوپی بازالت‌های جواهردشت نشان می‌دهد که این بازالت‌ها با پوسته قاره‌ای آلایش پیدا کرده‌اند. بررسی‌های ژئوشیمیایی نشان می‌دهد که بازالت‌های جواهردشت دارای تعادل عنصری بسیار شاخصی با پوسته زیرین و میانی بوده و با آن‌ها آلایش یافته‌اند.

برادر برهمکنش ماقماهای اولیه نشأت گرفته از گوشه با مواد پوسته‌ای در طی صعود ترکیب اولیه ماقماهی این سنگ‌ها از نظر ژئوشیمیایی تعديل و تغییر یافته است؛ به نحوی که بر اثر همین تغییرات مثلث سیمای مناطق فرورانشی را به طور کاذب نشان می‌دهند.

با توجه به تغییرات نسبت‌های ژئوشیمیایی ایجاد شده بر اثر آلایش در ماقماهی اولیه والدیازالت‌های جواهردشت، باید در استفاده از عناصر ناسازگار و نسبت‌های آن‌ها و نسبت‌های ایزوتوپی برای تشخیص ماهیت پروتولیت این سنگ‌ها کاملاً احتیاط را رعایت کرد.

تشکر و قدردانی

این پژوهش حاصل طرح تحقیقاتی با عنوان «پتروگرافی و ژئوشیمی بازالت‌های جواهردشت» بوده است که با حمایت مالی معاونت محترم پژوهشی دانشگاه آزاد اسلامی واحد لاهیجان انجام شده است. بدین وسیله از همکاری آن معاونت قدردانی می‌شود. همچنین از راهنمایی‌های ارزشمند جناب دکتر منصور و ثوفی عابدینی برای توصیه‌های علمی ایشان و جناب دکتر Brian L. Cousens از دانشگاه کارلتون کانادا برای همکاری و انجام آزمایش‌ها ایزوتوپی تشکر و قدردانی می‌شود.

منابع

1. M. Wilson, Igneous petrogenesis-A global tectonic approach, Unwin Hyman London (1989) 466.
2. C. Jung, Geochemische und Isotopen-geochemische untersuchungen an tertiaeren vulkaniten der Hocheifel-ein Beitrag zur Identifizierung der Mantelquellen von Rift-bezogenen vulkaniten, Dissertation zur Erlangung des doktorgrades Naturwissenschaften dem, vorgelegt fachbereich Geowissenschaften der Philipps-Universitaet Marburg (2003).
3. بهارفیروزی، خ. و شافعی، ع. ر. ، نقشه زمین‌شناسی ۱:۱۰۰۰۰ جواهرده، سازمان زمین‌شناسی و اکتشافات معدنی کشور (۱۳۸۲).

4. R.N. Thompson, Magmatism of the British Tertiary Volcanic province, Scott. J. Geol. 18 (1982) 49-107.
5. J.A. Pearce, Role of sub-continental lithosphere in magma genesis at active continental margins, In: Hawkesworth,C.I. and M.J. Norry (eds) continental Basalts and mantle xenoliths,Shiva Nantwich (1983) 230-249.
6. S.S. Sun and W.F. McDonough, Magmatism in the oceanic Basalts, [A.D. saunders and M. J. Norry, Herausgeber], Geol. Soc. Special. Pub 42 (1989) 313-345.
7. K.G. Cox and C.J. Hawkesworth, Geochemical stratigraphy of the Decan Traps, at Mahabaleshwar, Westerrn Ghats, India,with implication for open system magmtic processes,J. Petrol, 26(1985) 355-377.
8. H.R. Rollinson, Using Geochemical Data: Evolution,Presentation, Interpretation, Longman Scientific and Technical,England (1993) 352.
9. A.M. Hofmann,Mantle geochemistry: The message from oceanic volcanism,Nature,385 (1997) 219-229.
10. J.A. Pearce and D.W. Peat, Tectonic implications of the composition of volcanic arc magmas. -Annu. Rev. Earth Planet. Sci. 23 (1995) 251-285.
11. P. Ulmer, partial melting in the mantle wedge-the role of H_2O in the genesis of mantle-derived"arc-related"magmas. Physics of the Earth and Planetary Interiors,127(2001)215-232.
12. J.A. pearce, Trace element characteristics of lavas from destructive plate boundaries, in: Thrope, R.S. (ed) Andsites,Wiley, Chichester (1982) 528-548.
13. M. Ballever,E. LeGoff and R. Hebet,The tectothermal evolution of the Caledonian belt of Northern Brittany, France:A Neoproterozoic volcanic arc. Tectonophysics. 331(2001)19-43.
14. R.N. Thompson, M.P. Morrison, A.P. Dickin and G.L. Hendry,Continental flood basalts and mantle xenoliths in: C.J. Hawkesworth & M.J. Norry (eds), Nantwich Shiva (1983)158-185.
15. R.L. Rudnick and D.M. Fountain,Nature and composition of the continental crust : a lower crustal perspective, Rev. Geophys, 33 (1995) 267-309.
16. R.V. Fodor, Low and high- TiO_2 flood basalts of Southern Brazil: Origin from picritic parentage and a common mantle source. Earth Planet. Sci. Lett, 84(1987) 423-430.

17. G. Bellieni, P. Brotzo, P. Comin-chiaromonti, M. Ernesto, A. Melfi, I.G. Pacca and E.M. Piccirillo, Flood basalt to rhyolite suites in southern Prana plateau (Brazil): paleomagnetism, petrogenesis and geodynamic implications, *J. Petrol.*, 25 (1984) 579-618.
18. E.B. Watson, Basalt contamination by continental crust: some experiments and models, *Contrib. Mineral. Petrol.* 80 (1982) 73-87.
19. S.R. Taylor and S. M. McLennan, The continental crust: its composition and evolution, Blackwel Sci. Pub. Oxford (1985) 312.
20. B.L. Weaver, Trace element evidence for the origin of ocean-island basalts, *Geology*, 19 (1991) 123-126.
21. C. Kaiser, Multi-component evolution, age and plate-tectonic setting of high-Mg Lamprophyric dikes and small gabbroic intrusions on Isla Margarita (Venezuela), Ruhr universitaet Bochum (1997) 174.
22. M.A. Dungan, M.M. Lindstrom, N.J. McMilian, S. Moorbath, J. Hoefs and L.A. Haskin, Open system magmatic evolution of the Taos plateau volcanic field, Northern of the New Mexico In: The petrology and geochemistry of the Sevilleta basalt, *J. Geophys. Res.* 91 (1986) 5999-6028.
23. R.L. Rudnick and S.L. Goldstein, The Pb isotopic composition of lower crust xenoliths and the evolution of lower crustal Pb, *Earth Planet. Sci. Lett.* 98 (1990) 192-207.
24. A. W. Hofmann, K. P. Jochom, M. Seufert and W. M. White, Nb and Pb in oceanic basalts, new constraints on mantle evolution, *Earth. Sci. Lett.* 90 (1986) 297-314.
25. M.S. Krienitz, K.M. Haase, K. Mezger, V. Eckardt and M.A. Shaikh-Mashail, Magma genesis and crustal contamination of continental intraplate lavas in northwestern Syria, *Contrib. Mineral. petrol.* 151 (2006) 698-716.
26. J.A. Pearce, J.F. Bender, S.E. Delong, W.S.F. Kidd, P. J. Low, Y. Guner, F. Saroglee, Y. Yilmaz, Genesis of collisional volcanism in eastern Anatolia, Turkey, *J. Volc. Geotherm. Res.* 44 (1990) 189-229.
27. D.R. Askren, M.F. Roden and J.A. Witmey, Petrogenesis of tertiary Andesite lava flows interlayered with large-volume felsic Ash-Flow Tuffs of western USA, *J. Petrology*, 38 (1997) 1021-1046.

28. D.J. DePaolo and G.J. Wasserberg,Nd isotopes in flood basalts from the siberian platform and interferences abour their mantle sources. proceeding of National Academy of Science, USA, 76 (1979) 3056-3060.
29. S. Jung, The role of crustal contamination during the evolution of continental rift -related Basalts. A case study from the Vogelsberg area (central Germany), GEOLiNES (praha)9 (1999) 48-58.
30. R.W. Carlson and W.K. Hart, Flood basalt volcanism in the northwestern United States. in: continental basalts, J.D. McDougall (ed). kluwer Academic Pub. (1988)273-310.
31. S.R. Hart and H. Staudigel,Isotopic characterization and identification of recycled components. Crust-mantle recycling at convergence zones. S.R. Hart and L. Gulen (ed), kluwer Academic Pub. (1989) 15-28.
32. A. Rouff,Geochemical and mineralogical analysis of the Comerford intrusive complex, East Barnett, Northeastern vermont. Unpublished seniorthesis, Middlebury College, Middlebury (1998) 63.
33. S. Bernstein, P.B. kelemen, C. Tegner,M. D. Kurz, J. Blusztajn and C. Kent Brooks,Post-breakup basaltic magmatism along the East Greenland Tertiary rifted margin. Earth. planet. Sci. Letters. 160(1998)845-862